

- [J]. 药学研究, 2017, 36(2): 99-103.
- [18] 李红, 张艳, 于宜平, 等. 大黄解热作用与降低血浆一氧化氮作用的 PK-PD 研究[J]. 中国中药杂志, 2013, 38(8): 1231-1236.
- [19] Charalambous M, Lightfoot T, Speirs V, et al. Expression of COX-2, NF-κB-p65, NF-κB-p50 and IKK α in malignant and adjacent normal human colorectal tissue [J]. Br J Cancer, 2009, 101(1): 106-115.
- [20] 周蓓, 陈誉丹, 冯莉婷, 等. 石膏粳米汤对干酵母致热大鼠解热抗炎及核因子-κBp65、环氧合酶-2 表达的影响 [J]. 科学技术与工程, 2018, 18(26): 165-170.

委陵菜酸调控 PI3K/Akt/mTOR 通路对肝星状细胞活化增殖的影响

李艳¹, 张晓琳¹, 韦园园¹, 温淑娟¹, 林兴¹, 黄权芳^{2*}

(1. 广西医科大学, 广西南宁 530021; 2. 广西中医药大学第一附属医院, 广西南宁 530023)

摘要: 目的 探讨委陵菜酸对人肝星状细胞(LX-2)细胞增殖、活化以及对PI3K/Akt/mTOR信号通路的影响, 分析其抗肝纤维化的作用机制。方法 用人血小板衍生生长因子-BB(PDGF-BB)刺激LX-2构建细胞模型。试剂盒检测细胞中LDH水平, MTT法检测LX-2细胞增殖, 细胞划痕和集落生成实验观察LX-2细胞迁移和增殖情况, RT-qPCR检测Col-I、Col-III mRNA表达, Western blot检测Col-I、PI3K、Akt、mTOR等信号通路相关蛋白表达。结果 与正常组比较, PDGF-BB促进LX-2细胞增殖, 增加Col-I mRNA和蛋白表达, 提高PI3K、Akt、p70S6K、mTOR蛋白的磷酸化水平; 与刺激组比较, 委陵菜酸和LY294002均能抑制细胞增殖和迁移, 减少Col-I蛋白表达、降低Col-I和Col-III mRNA表达, 抑制细胞内PI3K、Akt、mTOR蛋白的磷酸化水平。结论 委陵菜酸能抑制LX-2细胞的活化、增殖, 减少纤维化胶原的表达, 其机制可能与抑制PI3K/Akt/mTOR信号通路有关。

关键词: 委陵菜酸; 人肝星状细胞(LX-2); PI3K/Akt/mTOR信号通路

中图分类号: R285.5

文献标志码: B

文章编号: 1001-1528(2022)06-1965-05

doi: 10.3969/j.issn.1001-1528.2022.06.043

肝纤维化是肝脏对各种慢性刺激进行的损伤修复反应, 也是以胶原为主的细胞外基质(extracellular matrix, ECM)在肝内大量沉积的病理过程^[1-2]。肝星状细胞(hepatic stellate cells, HSCs)是ECM的主要来源, 在肝纤维化的发展进程中发挥着关键的作用^[3]。活化的HSCs可通过在肝损伤部位移行、增殖, 表达各种信号传导蛋白, 并产生大量细胞因子和以胶原为主的细胞外基质成分, 是肝纤维化形成的始动环节^[4]。PI3K/Akt/mTOR通路是参与肝纤维化发生发展的重要信号传导通路之一^[5], 可调节HSCs增殖、活化和凋亡, 是目前治疗肝纤维化较有效的干预靶点^[3]。

中药具有多成分、多环节、多靶点的作用特点, 对病理复杂的肝纤维化可发挥综合优势^[6]。委陵菜是蔷薇科植物委陵菜 *Potentilla chinensis* Ser. 的全草, 在前期对委陵菜进行化学成分提取、分离及其活性成分筛选研究中, 得到委陵菜酸, 并在LPS/D-GalN诱导的小鼠肝损伤模型中发现, 委陵菜酸可降低炎症相关因子的表达, 抑制NF-κB活性, 减轻肝组织病理的损伤程度^[7]。本研究以PI3K/Akt/mTOR信号通路为切入点, 探讨委陵菜酸对血小板衍生因

子-BB(platelet derived growth factor-BB, PDGF-BB)诱导活化的肝星状细胞LX-2的抗纤维化作用机制, 为其治疗肝纤维化提供依据。

1 材料

1.1 细胞 人肝星状细胞株LX-2购自上海美轩生物科技有限公司。

1.2 试剂与药物 人PDGF-BB(美国PeproTech公司, 批号0507CY420); PI3K抑制剂LY294002(美国Medchemexpress公司); DMEM高糖培养基(美国HyClone公司); 胎牛血清(澳大利亚AusGeneX公司); 兔抗Collagen-I多克隆抗体、鼠抗PI3K多克隆抗体、兔抗mTOR多克隆抗体(美国Proterntech公司); 兔抗磷酸化PI3K多克隆抗体(美国Signalway Antibody公司, 批号5602); 兔抗Akt多克隆抗体、兔抗磷酸化Akt多克隆抗体、兔抗磷酸化mTOR多克隆抗体、兔抗P70S6K多克隆抗体、兔抗磷酸化P70S6K多克隆抗体(美国Cell Signaling Technology公司); PCR试剂盒(日本TaKaRa公司); BCA试剂盒(南京建成生物工程研究所); Western转膜液、封闭液

收稿日期: 2020-09-03

基金项目: 国家自然科学基金(81660686)

作者简介: 李艳(1994—), 女, 硕士生, 从事肝纤维化研究。Tel: (0771) 5358129, E-mail: liyan260@163.com

*通信作者: 黄权芳(1973—), 女, 硕士, 主任药师, 从事中药靶向治疗肝脏疾病研究。E-mail: hqf00@126.com

(上海碧云天生物技术有限公司); 聚偏氟乙烯(PVDF)膜(美国Millipore公司, 批号R5HA8393E)。委陵菜酸(纯度90.08%), 提取分离参照前期研究方法^[7]。

1.3 仪器 超微量分光光度计、酶联免疫检测仪(美国Thermo Fisher公司); 7300荧光定量PCR仪(美国Applied Biosystem公司); 双色红外荧光扫描成像系统(美国LI-COR公司)。

2 方法

2.1 委陵菜酸的配制 称取适量委陵菜酸加入DMSO溶解, 配置成浓度10 mmol/L的溶液, 用0.22 μm微孔滤膜过滤, 即得, 于-80℃冰箱保存备用。

2.2 细胞培养和分组 设置6个组, 分别为正常组、刺激组(PDGF-BB 20 ng/mL)、LY294002组(PDGF-BB 20 ng/mL+LY294002 20 μmol/L)和委陵菜酸高、中、低剂量组(PDGF-BB 20 ng/mL+委陵菜酸35、25、15 μmol/L)。将LX-2细胞株置于含10%胎牛血清、1%青霉素-链霉素的1640培养液中, 于37℃、5%CO₂培养箱中贴壁培养, 每1~2 d更换培养液。待细胞生长至单层致密状, 弃培养液, PBS洗2次, 用0.25%胰蛋白酶消化并传代或冻存。

2.3 MTT法检测细胞增殖情况 取对数生长期LX-2细胞接种于96孔板培养24 h, 加入委陵菜酸(10~60 μmol/L)继续培养24 h, 加入MTT溶液10 μL, 使用酶标仪于490 nm波长测各孔光密度(OD)值, 计算半抑制浓度(IC₅₀)。LX-2细胞接种于96孔板, 除正常组外, 其余各组用20 ng/mL PDGF-BB预处理30 min, 刺激组加入完全培养基, 药物组分别加入15、25、35 μmol/L委陵菜酸和20

μmol/L的LY294002, 作用24 h后弃去原培养基, 每孔加入90 μL无血清培养基和10 μL MTT继续培养4 h, 弃去培养基后加入100 μL DMSO, 使用酶标仪在490 nm处检测每个孔的OD值, 计算抑制率。

2.4 LDH活性的检测 将LX-2细胞以每孔1×10⁴个的密度接种于96孔板, 待细胞生长贴壁后, 按“2.3”项下分组和给药, 培养24 h。收集上清液, 按说明书步骤处理后, 使用酶标仪在450 nm处检测OD值, 并对细胞LDH值进行量化^[8]。

2.5 细胞迁移实验 取对数生长期LX-2细胞接种于6孔板, 待细胞贴壁后, 用枪头垂直于直尺, 对单层细胞划出一条无细胞的刮除带, 用PBS洗去划下的细胞后, 按“2.3”项下分组和给药, 并分2个时间段(0、24 h)观察并拍照^[9]。

2.6 集落生成实验 取对数生长期LX-2细胞接种于6孔板, 细胞密度为每孔500个。第2天更换为无血清培养基, 同步化饥饿细胞6 h。按“2.3”项下分组和给药, 将6孔板置于恒温培养箱中继续培养7 d, 用0.1%结晶紫对细胞固定染色, 在显微镜下观察菌落大小和数量等集落的生成情况。50个以上细胞组成的细胞团, 计为1个集落。

2.7 RT-qPCR法检测相关基因mRNA表达 收集各组细胞, 采用Trizol一步法提取细胞RNA, 用超微量分光光度法检测总RNA浓度, 并通过逆转录得到cDNA。采用PCR仪以20 μL体系开始扩增, 扩增条件为95℃预变性30 s, 95℃变性5 s, 60℃退火延伸31 s, 循环40次^[10], 引物序列见表1。

表1 引物序列表

基因名称	正向引物(5'→3')	反向引物(5'→3')	长度/bp
Col-I	GACATGTTCAAGCTTGTGGACCTC	AGGGACCCTTAGGCCATTGTGTA	120
Col-III	TTTGGCACAGCAGTCAAATGTA	GACAGATCCCGAGTCGCAGA	121
GAPDH	GCACCGTCAAGGCTGAGAAC	TGGTGAAGAGGCCAGTGGA	138

2.8 蛋白免疫印迹法检测相关蛋白表达 收集各组细胞, 加入含RIPA缓冲液、1%蛋白酶抑制剂和1%磷酸酶抑制剂的裂解液裂解细胞, 冰面上静置10 min, 离心取上清液^[11], 即得, 用BCA试剂盒检测蛋白浓度。用10%SDS-PAGE凝胶将蛋白质按分子量大小进行分离, 电泳结束后, 将蛋白质转移到PVDF膜上, 封闭后与一抗4℃孵育过夜, 辣根过氧化物酶标记的大鼠IgG二抗孵育, 免疫反应带的强度用双色红外荧光扫描成像测定, 采用Image-Pro Plus图像分析管理系统分析^[7]。

2.9 统计学分析 采用SPSS 17.0软件进行处理, 结果以($\bar{x}\pm s$)表示, 经方差齐性检验, 方差齐则采用单因素方差分析; 方差不齐则采用秩和检验。 $P<0.05$ 为差异具有统计学意义。

3 结果

3.1 委陵菜酸对PDGF-BB刺激LX-2细胞LDH活性的影响 委陵菜酸对LX-2细胞IC₅₀为43.287 μmol/L。与刺激组比较, 药物干预后LX-2细胞LDH活性随浓度增加而升

高($P<0.01$), 对细胞有一定毒性, 见表2。

表2 委陵菜酸对PDGF-BB刺激LX-2细胞LDH活性的影响($\bar{x}\pm s$, n=3)

组别	LDH/(U·L ⁻¹)
正常组	274.986±3.185
刺激组	294.208±5.715 [#]
LY294002组	418.784±4.505 ^{**}
委陵菜酸高剂量组	398.813±2.449 ^{**}
委陵菜酸中剂量组	387.722±5.324 ^{**}
委陵菜酸低剂量组	346.909±4.661 ^{**}

注:与正常组比较,[#] $P<0.05$;与刺激组比较,^{**} $P<0.01$ 。

3.2 委陵菜酸对PDGF-BB刺激LX-2细胞增殖的影响 与正常组比较, 20 ng/mL PDGF-BB促进LX-2细胞的增殖($P<0.01$); 与刺激组比较, 委陵菜酸和LY294002对PDGF-BB引起的细胞增殖具有抑制作用($P<0.01$), 并呈剂量依赖性, 见表3。

表3 委陵菜酸对PDGF-BB刺激LX-2细胞增殖的影响
($\bar{x} \pm s$, n=5)

组别	OD值	抑制率/%
0.4% DMSO组	0.860±0.026	—
正常组	0.869±0.041	—
刺激组	1.173±0.038 ^{##}	-34.98 ^{##}
LY294002组	0.563±0.014 ^{**}	35.21 ^{**}
委陵菜酸高剂量组	0.542±0.033 ^{**}	37.63 ^{**}
委陵菜酸中剂量组	0.714±0.014 ^{**}	17.84 ^{**}
委陵菜酸低剂量组	0.797±0.023 ^{**}	8.29 ^{**}

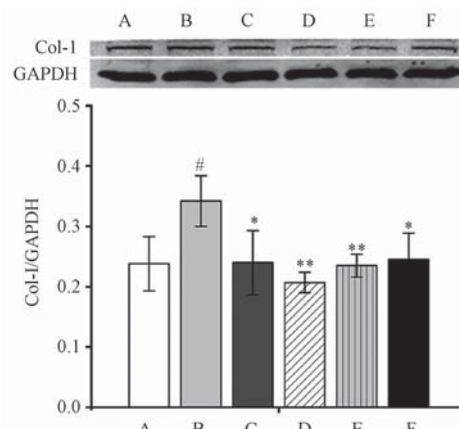
注:与正常组比较,^{##}P<0.01;与刺激组比较,^{**}P<0.01。

3.3 委陵菜酸对PDGF-BB刺激LX-2细胞活化的影响 与正常组比较,PDGF-BB刺激后LX-2细胞Col-I蛋白表达升高($P<0.05$),表明LX-2细胞已被激活;与刺激组比较,委陵菜酸干预能抑制活化的LX-2细胞Col-I蛋白表达($P<0.05$, $P<0.01$),且呈现剂量依赖性,见图1。与刺激组比较,委陵菜酸干预能抑制Col-I和Col-III mRNA表达($P<0.01$),见表4。

表4 委陵菜酸对PDGF-BB刺激LX-2细胞Col-I和Col-III mRNA表达的影响 ($\bar{x} \pm s$, n=3)

组别	Col-I	Col-III
正常组	1.001±0.019	1.000±0.021
刺激组	1.224±0.010 ^{##}	1.312±0.032 ^{##}
LY294002组	0.609±0.003 ^{**}	0.503±0.063 ^{**}
委陵菜酸高剂量组	0.543±0.023 ^{**}	0.566±0.016 ^{**}
委陵菜酸中剂量组	0.594±0.017 ^{**}	0.674±0.009 ^{**}
委陵菜酸低剂量组	0.710±0.034 ^{**}	0.801±0.037 ^{**}

注:与正常组比较,^{##}P<0.01;与刺激组比较,^{**}P<0.01。

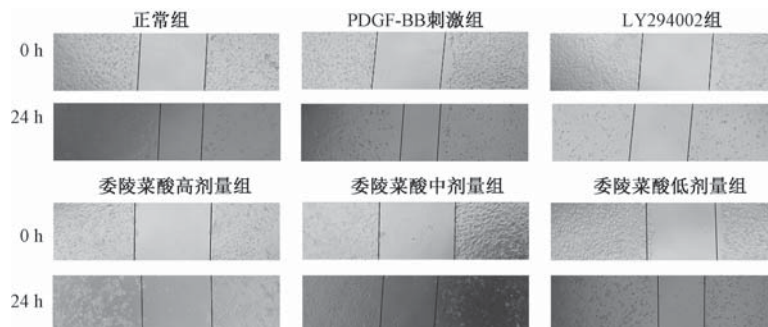


注: A为正常组,B为刺激组,C为LY294002组,D~F为委陵菜酸高、中、低剂量组。与正常组比较,^{*}P<0.05;
与刺激组比较,^{**}P<0.05,^{##}P<0.01。

图1 委陵菜酸对PDGF-BB激活的LX-2细胞Col-I蛋白表达的影响 ($\bar{x} \pm s$, n=3)

3.4 委陵菜酸对PDGF-BB刺激LX-2细胞迁移的影响 如图2、表5所示,与正常组比较,刺激组LX-2细胞迁移距离增加($P<0.01$),PDGF-BB促进了LX-2细胞的迁移;与刺激组比较,各给药组LX-2细胞迁移距离缩短($P<0.01$),委陵菜酸对PDGF-BB刺激LX-2细胞迁移具有抑制作用,且呈剂量依赖性。

3.5 委陵菜酸对PDGF-BB刺激LX-2细胞集落形成的影响 如图3、表6所示,与正常组比较,PDGF-BB促进了LX-2细胞的集落形成($P<0.01$);与刺激组比较,药物

图2 各组LX-2细胞迁移的情况 ($\times 100$)表5 委陵菜酸对PDGF-BB刺激LX-2细胞迁移的影响
($\bar{x} \pm s$, n=3)

组别	划痕愈合率/%
正常组	39.33±1.13
刺激组	55.78±7.98 ^{##}
LY294002组	21.49±3.45 ^{**}
委陵菜酸高剂量组	22.94±4.28 ^{**}
委陵菜酸中剂量组	28.66±1.71 ^{**}
委陵菜酸低剂量组	32.88±4.75 ^{**}

注:与正常组比较,^{##}P<0.01;与刺激组比较,^{**}P<0.01。

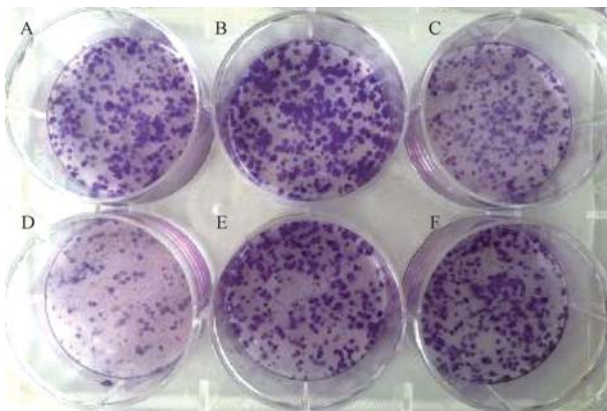
干预可抑制LX-2细胞的集落形成($P<0.01$),其抑制率呈剂量依赖性。

表6 委陵菜酸对PDGF-BB刺激LX-2细胞集落形成的影响
($\bar{x} \pm s$, n=3)

组别	集落形成率/%
正常组	49.733±6.525
刺激组	68.400±6.609 [#]
LY294002组	68.533±6.745
委陵菜酸高剂量组	18.067±2.318 ^{**}
委陵菜酸中剂量组	37.600±4.359 ^{**}
委陵菜酸低剂量组	44.500±3.764 ^{**}

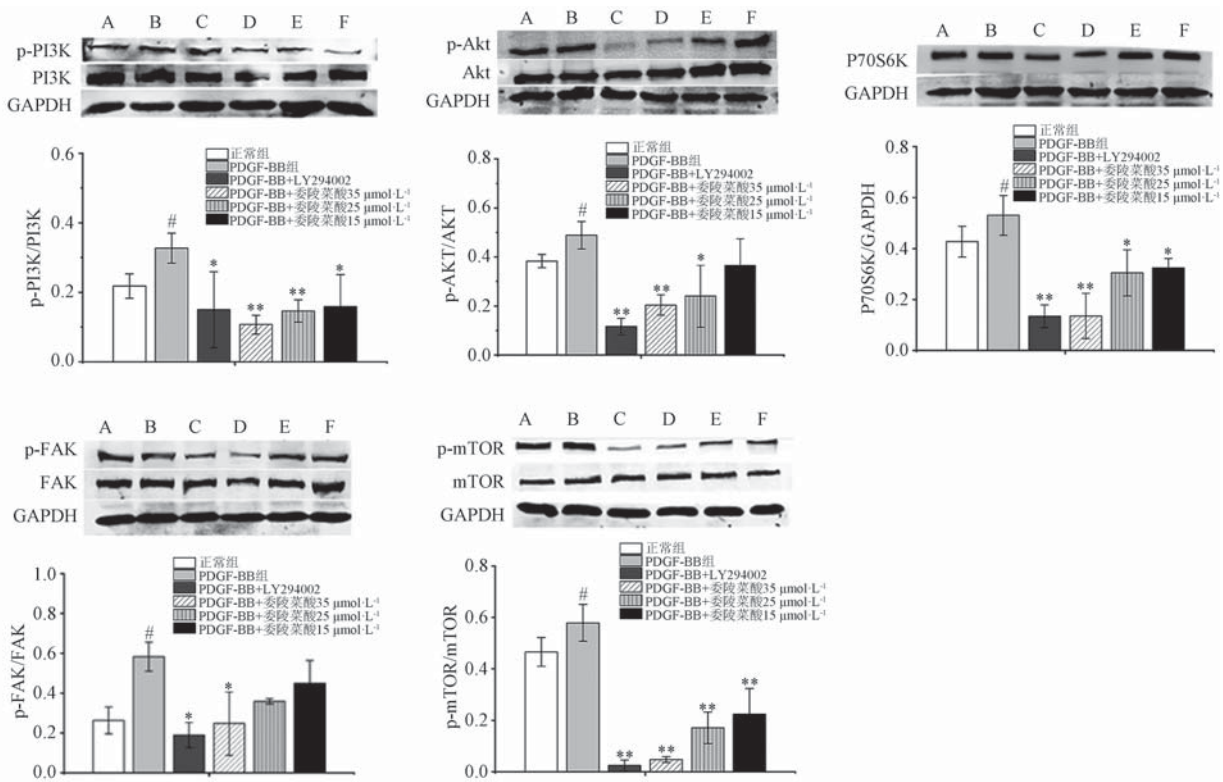
注:与正常组比较,^{##}P<0.01;与刺激组比较,^{**}P<0.01。

3.6 委陵菜酸对PDGF-BB刺激LX-2细胞PI3K/Akt/mTOR信号通路蛋白表达的影响 如图4所示,与正常组比较,



注: A 为正常组, B 为刺激组, C 为 LY294002 组, D~F 为委陵菜酸高、中、低剂量组。

图 3 各组 LX-2 细胞集落形成的情况



注: A 为正常组, B 为刺激组, C 为 LY294002 组, D~F 为委陵菜酸高、中、低剂量组。与正常组比较, *P<0.05; 与刺激组比较, **P<0.05, ***P<0.01。

图 4 委陵菜酸对 PDGF-BB 刺激 LX-2 细胞 PI3K/Akt/mTOR 信号通路蛋白表达的影响 ($\bar{x} \pm s$, n=3)

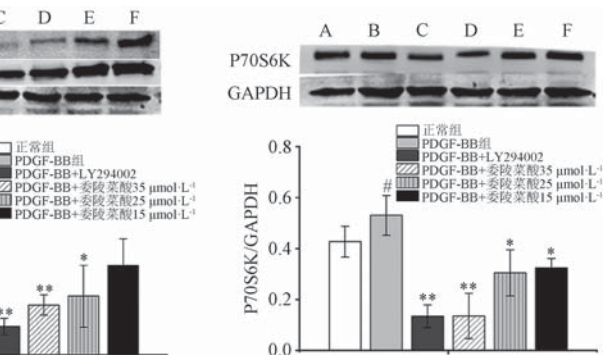
有效的激活剂,当肝脏受到刺激时,PDGF 被 HSCs 以自分泌或旁分泌途径被释放,HSCs 的 PDGF 受体被诱导至细胞表面,二者形成一个有效的正反馈环,不断激活 HSCs^[14],同时 PDGF 还可激活下游 PI3K、ERK 和其他途径的信号传导,促进其增殖、迁移和分泌 ECM^[12]。通过 PDGF-BB 刺激 HSCs 后,加入委陵菜酸 24 h,发现 LX-2 细胞增殖被抑制。提示委陵菜酸对活化的 LX-2 细胞有抑制作用。

HSCs 活化后,增殖和迁移能力增强^[14]。PDGF-BB 刺激后 LX-2 细胞的增殖率和迁移率升高;LY294002 和委陵菜酸均能抑制 LX-2 细胞的增殖和迁移,并呈剂量依赖性。

PDGF-BB 刺激上调了 LX-2 细胞 p-Akt、p-PI3K、P70S6K、p-FAK、p-mTOR 蛋白表达 ($P<0.05$);与刺激组比较,药物干预下调了 LX-2 细胞 p-Akt、p-PI3K、P70S6K、p-FAK、p-mTOR 蛋白表达 ($P<0.01$),且呈剂量依赖性。

4 讨论

肝纤维化是各种慢性肝脏疾病向肝硬化发展的必经阶段^[4]。HSCs 在肝纤维化过程中扮演着重要角色,其活化、增殖是肝纤维化形成的关键环节^[12]。在正常情况下,HSCs 处于静息状态,主要负责储存维生素 A,当受到外界刺激时,细胞形态发生改变,胞内的维生素 A 消失,HSCs 发生活化,转变成为肌成纤维样细胞^[13],活化的 HSCs 增殖、迁移和收缩能力增强,以胶原为主的 ECM 释放增加,导致肝纤维化的发生^[5]。因此,抑制 HSCs 细胞活化和减少细胞外基质的合成是逆转肝纤维化的关键。PDGF-BB 是对 HSCs



提示委陵菜具有抑制 LX-2 细胞增殖和迁移的能力。

HSCs 细胞表型发生转化后,合成 ECM 的能力增加,大量 Col-I 和 Col-III 因溶解失衡而过度沉积,从而造成肝纤维化发生^[5],胶原水平的高低可以反映肝纤维化程度。PDGF-BB 刺激后 LX-2 细胞 Col-I 表达增加,委陵菜酸干预能下调 Col-I 蛋白表达,且可降低 Col-I 和 Col-III mRNA 表达。提示委陵菜酸能抑制 HSCs 的 ECM 过度沉积及胶原的形成,从而达到抗肝纤维化的作用。

PI3K/Akt/mTOR 信号通路在促进细胞生长、增殖、分化,促进细胞运动、侵袭,抗凋亡以及肝纤维化的发展中

发挥重要作用^[9]。PI3K是细胞生长信号通路中一个重要的激酶，当PDGF与相应的配体结合后，能与PI3K 85 kDa 亚基结合，使其发生磷酸化活化^[15]，磷酸化的PI3K促进Akt聚集于细胞膜上并被活化，活化的Akt可直接磷酸化mTOR致其激活，mTOR激活后可通过下游核糖体S6蛋白激酶通路调控细胞的生长和增殖^[15]。细胞粘附斑激酶可作为PI3K/Akt/mTOR信号通路上游刺激因子，调节细胞生长^[8]。PDGF-BB刺激24 h，LX-2细胞中p-PI3K、p-Akt、p-mTOR、p-FAK蛋白表达上调，PI3K/Akt通路被激活。委陵菜酸和LY294002干预下调了细胞中p-PI3K、p-Akt、p-mTOR、p-FAK蛋白表达。提示委陵菜酸能够抑制HSCs活化和增殖、减少胶原沉积，其机制可能与抑制PI3K/Akt/mTOR信号通路有关。

综上所述，委陵菜酸可通过PI3K/Akt/mTOR信号途径有效抑制HSCs活化，起到抗纤维化的作用。

参考文献：

- [1] Puche J E, Saiman Y, Friedman S L. Hepatic stellate cells and liver fibrosis [J]. *Comprehensive Physiology*, 2013, 3(4): 1473.
- [2] 梁群, 邢金梅, 何学斌. 缬草萜内酯对体外诱导肝星状细胞增殖及氧化应激反应的影响 [J]. 中成药, 2019, 41(5): 1168-1171.
- [3] 李丝冰, 贾玉杰. 肝纤维化细胞外基质和星状细胞间的相互作用 [J]. 生理科学进展, 2014, 45(6): 462-464.
- [4] Miao Y, Wu Y, Jin Y, et al. Benzoquinone derivatives with antioxidant activity inhibit activated hepatic stellate cells and attenuate liver fibrosis in TAA-induced mice [J]. *Chem Bio Inter*, 2020, 317: 108945.
- [5] Hernandez-Gea V, Friedman S L. Pathogenesis of liver fibrosis [J]. *Annu Rev Pathol*, 2011, 6(1): 425-456.
- [6] Zou Y H, Yang Y, Li J, et al. Potential therapeutic effects of a traditional Chinese formulation, BJ-JN, on liver fibrosis induced by carbon tetrachloride in rats [J]. *J Ethnopharmacol*, 2008, 120(3): 452-457.
- [7] Lin X, Zhang S, Huang R, et al. Protective effect of tormentic acid from *Potentilla chinensis* against lipopolysaccharide/D-galactosamine induced fulminant hepatic failure in mice [J]. *Inter Immuno*, 2014, 19(2): 365-372.
- [8] Bai F, Huang Q, Nie J, et al. Trolline ameliorates liver fibrosis by inhibiting the NF-κB pathway, promoting hsc apoptosis and suppressing autophagy [J]. *Cell Physiol and Biochem*, 2017, 44(2): 436-446.
- [9] Xu A, Li Y Q, Zhao W, et al. PHP14 regulates hepatic stellate cells migration in liver fibrosis via mediating TGF-β1 signaling to PI3Kγ/AKT/Rac1 pathway [J]. *J Mole Med*, 2018, 96(2): 119-133.
- [10] Lin X, Wei J, Chen Y, et al. Isoorientin from *Gypsophila elegans* induces apoptosis in liver cancer cells via mitochondrial-mediated pathway [J]. *J Ethnopharmacol*, 2016, 187: 187-194.
- [11] Huang Q, Liang C, Wei L, et al. Raf kinase inhibitory protein down-expression exacerbates hepatic fibrosis *in vivo* and *in vitro* [J]. *Cell Physiol and Biochem*, 2016, 40(1-2): 49-61.
- [12] Lee U E, Friedman S L. Mechanisms of hepatic fibrogenesis [J]. *Best Pract Res Clin Gastroenterol*, 2011, 25(2): 195-206.
- [13] Friedman S L. Hepatic stellate cells: protean, multifunctional, and enigmatic cells of the liver [J]. *Physiol Rev*, 2008, 88(1): 125-172.
- [14] Higashi T, Friedman S L, Hoshida Y. Hepatic stellate cells as key target in liver fibrosis [J]. *Adv Drug Delivery Rev*, 2017, 121: 27-42.
- [15] Wei X, Luo L, Chen J. Roles of mTOR signaling in tissue regeneration [J]. *Cells*, 2019, 8(9): 1075.